

СРОЧНЫЕ СООБЩЕНИЯ

ПОДЖИГАНИЕ ЧАСТИЦ ТЭНА
ВОЛНОЙ ГАЗОВОЙ ДЕТОНАЦИИ

УДК 536.46:533.6+534.222.2

В. В. Григорьев, Л. А. Лукьянчиков, Э. Р. Прууэл

Институт гидродинамики им. М. А. Лаврентьева СО РАН,
630090 Новосибирск

Проведено экспериментальное исследование поджигания частиц газовзвеси тэнна волной газовой детонации. При изменении начального давления газовой смеси от 0,1 до 0,4 МПа с применением метода многолучевой пирометрии найдено критическое давление, при котором происходит резкое усиление интегральной скорости разложения тэнна. Показано, что это может происходить вследствие большого увеличения площади поверхности тэнна из-за разрушения плавящихся частиц в высокоянтальпийном потоке газа.

В зарядах чувствительных вторичных порошковых взрывчатых веществ (ВВ) насыпной плотности детонация может быть возбуждена в непрочной оболочке малого диаметра при умеренном внешнем энерговводе. При этом возникновению детонации предшествует режим, который формируется в микросекундном диапазоне времени, а фронт реакции горения распространяется со скоростью ≈ 1 км/с [1, 2]. Если диаметр заряда меньше некоторой величины, детонация не возбуждается и переходный режим неограниченное время может существовать самостоятельно. Этот режим может быть инициирован электрическим разрядом, взрывающейся проволочкой, высокоянтальпийным потоком газа, газодетонационной волной [3]. Как показано в [4], реакция разложения частиц ВВ инициируется не ударной волной (УВ), а струями горячего газа опережающими фронт реакции.

Этот процесс похож на конвективное горение, которое имеет место при переходе горения в детонацию в порохах и ВВ [5], но реализуется при скоростях, не превышающих 500 м/с. Установлено, что, как и в послойном горении, за транспортировку ВВ в зону реакции при конвективном горении ответствен фронт пламени, отделенный от конденсированной фазы слоем паров, регулирующих поток тепла, идущий на газификацию. Определена зависимость массовой скорости горения от давления:

$$u = \alpha p^\nu, \quad (1)$$

где $\nu \approx 1$.

В работе [4] показано, что эта зависимость не может объяснить скорость сгорания в переходном режиме, которая при имеющемся уровне давления должна быть, как минимум, на порядок выше. В этой же работе предложен механизм, названный абляционным горением, объясняющий необходимую интенсификацию потока тепла разрушением испаренного слоя ВВ за счет развивающихся в нем неустойчивостей в высокоскоростном потоке продуктов горения.

В [6] предложен иной подход, в соответствии с которым необходимое интегральное увеличение скорости разложения ВВ объясняется ростом поверхности горения. При этом

массовая скорость горения соответствует соотношению (1). Резкое увеличение поверхности происходит из-за дробления частиц при динамическом воздействии инициирующего потока.

Чтобы прояснить картину развития детонации при слабом инициировании порошковых ВВ, прежде всего нужны надежные экспериментальные результаты о взаимодействии частиц ВВ с высокоэнталпийным потоком газа. В данной работе приводятся результаты таких экспериментов. Использовался поток, получаемый при детонации в смеси кислорода и ацетилена. Как показано в [3], такой поток способен инициировать заряд промышленного полидисперсного тэна при начальном давлении в смеси $p_0 = 0,3$ МПа.

Чтобы облегчить интерпретацию экспериментальных данных, исследовались условия развития реакции не в компактном заряде, а в локальном облаке газовзвеси частиц ВВ. Характерная плотность облака твердой фазы составляла $2 \text{ мг}/\text{см}^3$. Это позволило исследовать индивидуальное взаимодействие частицы с потоком. Непосредственной целью экспериментов было определение критического начального давления газовой смеси p_* , такого, что при $p_0 \geq p_*$ в детонационной волне (ДВ) происходит интенсивное разложение ВВ.

МЕТОД ИЗМЕРЕНИЙ

Для решения поставленной задачи в эксперименте производилась регистрация интенсивности излучения $I(t)$ продуктов детонации (ПД) одновременно на нескольких длинах волн. Это позволило определять начало реакции в ВВ не по изменению общей интенсивности излучения, а по изменению в спектре излучения ПД. В данном случае такой метод измерений эффективен, поскольку позволяет выделить излучение тэна на фоне свечения ПД и отличить поджигание от эффектов, связанных с торможением ПД на частицах.

Для реализации метода использовался многолучевой пирометр, описанный в [7]. Его пространственное и временное разрешения составляли соответственно 2 мм и $5 \cdot 10^{-7} \text{ с}$. Рабочие длины волн пирометра выбирали из сравнения спектров излучения продуктов газовой детонации и горящего тэна. Спектр ПД для горючей смеси $\text{C}_2\text{H}_2 + 2,5\text{O}_2$ взят из [7]. Спектр излучения тэна определен при его горении в воздухе при атмосферном давлении с помощью пирометра и стандартного набора интерференционных светофильтров. В экспериментах фиксировалась интенсивность излучения на длине волны $\lambda_1 = 589 \text{ нм}$, где спектр излучения горящего тэна имеет характерный максимум на фоне относительно минимума в спектре ПД. По излучению на длине волны λ_1 контролировалась реакция в ВВ. В свою очередь, излучение ДВ контролировалось на длине волны $\lambda_2 = 475 \text{ нм}$, где имеется относительный максимум излучения ПД и минимум для тэна. Другие рабочие длины волн пирометра выбирались произвольно, для контроля измерений по λ_1 и λ_2 .

Проведено два рода опытов — с чистой горючей газовой смесью и с газовзвесью частиц ВВ в той же смеси. Степень реагирования характеризовалась отношением амплитуд сигналов $I(\lambda_1)/I(\lambda_2)$ в опытах с газовзвесью тэна по сравнению с чистой детонацией газовой смеси.

ОПИСАНИЕ ЭКСПЕРИМЕНТА

В экспериментах использовалась стехиометрическая смесь ацетилена и кислорода $\text{C}_2\text{H}_2 + 2,5\text{O}_2$, выбор которой определялся простотой инициирования и быстрым формированием ДВ. Размеры используемых частиц тэна $20\text{--}50 \text{ мкм}$.

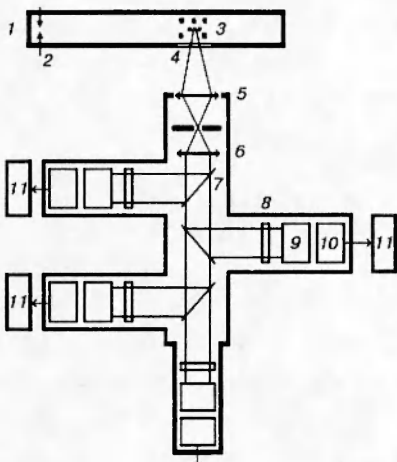


Рис. 1

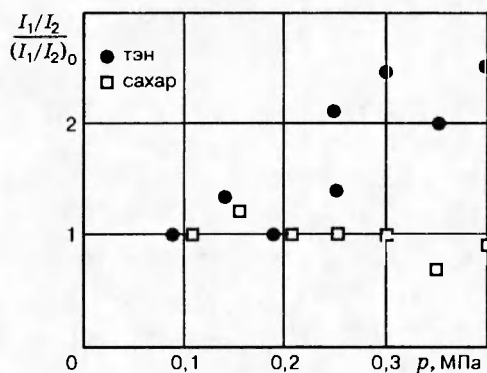


Рис. 2

Рис. 1. Схема экспериментальной установки:

1 — детонационная труба, 2 — свеча зажигания, 3 — облако частиц, 4 — окно, 5 и 6 — линзы, 7 — полупрозрачные зеркала, 8 — интерференционные светофильтры, 9 — фотоэлектронные умножители ФЭУ, 10 — повторители напряжения, 11 — цифровой осциллограф

Рис. 2. Отношение амплитуд сигналов

Схема экспериментальной установки приведена на рис. 1. Детонационная труба представляла собой канал квадратного сечения 10×10 мм длиной 300 мм. Облако газовзвеси создавалось с помощью электромагнитной катапульты, на которую помещалась порция частиц тэна массой $\approx 1,5$ мг. Характерный размер облака ~ 10 мм. Перед экспериментом труба вакуумировалась и заполнялась газовой смесью. Интенсивность излучения $I(t)$ регистрировалась из центральной части облака через стеклянное окно. Основная погрешность измерений связана с шумами при работе ФЭУ. Полная погрешность амплитудных измерений интенсивности излучения не превышала 10 %.

РЕЗУЛЬТАТЫ ЭКСПЕРИМЕНТОВ

Эксперименты проводились с тэном и сахаром при $p_0 = 0,1 \div 0,4$ МПа. На рис. 2 представлены экспериментальные данные в виде зависимости отношения амплитудных значений сигналов $I_1(\lambda_1)/I_2(\lambda_2)$ от p_0 во фронте ДВ. Отношение I_1/I_2 для детонации с газовзвесью нормированы на $(I_1/I_2)_0$ для чистой газовой детонации, т. е. представлено изменение спектра по двум линиям $(I_1/I_2)/(I_1/I_2)_0$ для тэна и сахара.

На графике выделяются два участка. На первом ($p_0 \leq 0,3$ МПа) изменение спектра не происходит. Более того, абсолютные интенсивности сигналов газовой детонации и детонации с тэном совпадают. Это означает, что используемая методика не фиксирует здесь разложения тэна. Второй участок начинается с $p_0 = 0,3$ МПа. Здесь отношение двух сигналов за время, не превышающее 10 мкс после прохода фронта ДВ, меняется примерно в два раза. Это происходит только из-за увеличения I_1 , значение I_2 остается примерно неизменным. В контрольных экспериментах с частицами сахара изменения в спектре отсутствуют, поэтому наблюдаемый эффект не может быть обусловлен торможением ПД на

частицах. Следовательно, начиная с $p_0 = 0,3$ МПа в экспериментах фиксируется разложение тэна, причем процесс имеет пороговый характер. Отметим, что найденное значение $p_* = 0,3$ МПа хорошо согласуется с результатами, полученными в работе [3].

РАЗРУШЕНИЕ ПЛАВЯЩИХСЯ ЧАСТИЦ ТЭНА В ДВ

Для объяснения полученного результата предлагается следующая гипотеза. В высокотемпературном потоке газа частицы тэна воспламеняются при любых p_0 , но, как показано в [4, 6], классическое горение не может объяснить наблюдаемого эффекта. Интенсивное разложение начинается при $p_0 \geq p_*$ за счет резкого роста площади поверхности тэна, что сильно увеличивает интегральную скорость горения. Предложенный в [6] механизм увеличения площади поверхности не может реализоваться в данной постановке, так как частицы не взаимодействуют между собой, а динамический напор газа в ДВ на порядок меньше, чем предел прочности тэна. Поскольку температура плавления тэна (415 К) довольно низка по сравнению с температурой газа (4200 К), следует рассмотреть возможность разрушения жидкой оболочки, которая образуется на частицах при их плавлении.

Процесс разрушения капель характеризуется числами Вебера и Лапласа [8]:

$$We = \frac{d\rho_g v^2}{\sigma}, \quad Lp = \frac{d\rho_l \sigma}{\mu^2},$$

где d — диаметр капли; ρ_g и ρ_l — плотность газа и капли; v — относительная скорость газа, σ и μ — коэффициенты поверхностного натяжения и динамической вязкости капли. Поскольку данные о значениях σ и μ для расплавленного тэна отсутствуют, в расчетах использовались диапазоны их возможных значений: $\sigma = 0,1 \div 1$ Н/м, $\mu = (1 \div 5) \cdot 10^{-3}$ кг/(м · с). Из возможных механизмов разрушения капель в потоке газа для плавящихся частиц наиболее вероятен срыв жидкого слоя. Для капель этот механизм реализуется при $We > We_* = 60 \div 80$ и $Lp = 10^2 \div 10^5$ (диапазон значений Lp для тэна в ДВ). Время от прихода фронта ДВ на частицу до начала ее дробления слабо зависит от We : $t_i \approx 3$ мкс при $We = 10^2 \div 10^5$.

Для частиц тэна с исходным диаметром $d_0 = 30$ мкм за фронтом ДВ в течение времени t_i $We = 400 \div 4000$. Таким образом, необходимое условие разрушения капель ($We > We_*$) выполнено. Причем $t_i < t_r \leq 10$ мкс, где t_r — время от прихода ДВ до начала регистрации реакции в тэне в эксперименте.

Прежде чем анализировать влияние каплеобразования на процесс химического реагирования тэна, оценим толщину расплавленного слоя на частице и особенности его разрушения. Из-за трудностей аналитического описания нагрева частицы глубина расплавленного слоя оценивалась численным моделированием переноса тепла с учетом фазового перехода (плавления). Решалась одномерная задача теплопроводности в ограниченной области со следующими граничными условиями: на поверхности ВВ задавался тепловой поток, а на расстоянии, равном радиусу частицы, температура считалась постоянной. Моделирование показало, что тепловая волна за время ≤ 5 мкс не успевает распространяться глубоко в частицу и толщина расплавленного слоя составляет $\delta \approx 1$ мкм.

Таким образом, при характерных временах процесса на частицах имеется расплавленный слой, но не очевидно, что значение We_* , полученное для капель, будет верно и для жидкой оболочки. Поэтому рассмотрим, как развиваются возмущения в жидким слое на частице в высокоскоростном потоке. Поскольку $\delta \ll d_0$, используем уравнение развития волновых возмущений, полученное из решения плоской задачи об устойчивости тангенци-

ального разрыва [9]:

$$a = a_0 \exp(t/\tau), \quad \tau(b) = \left(\frac{\rho_g \rho_l v^2}{(\rho_g + \rho_l)^2} \frac{4\pi^2}{b^2} - \frac{\sigma}{\rho_g + \rho_l} \frac{8\pi^3}{b^3} \right)^{-1/2},$$

где a и b — амплитуда и длина волны.

Пренебрегая ρ_g по сравнению с ρ_l , перепишем формулу в виде

$$\tau = \frac{\tau_0}{[(b_{\min}/b)^2 - (b_{\min}/b)^3]^{1/2}}, \quad \tau_0 = \frac{\sigma \sqrt{\rho_l}}{(\rho_g v^2)^{3/2}}, \quad b_{\min} = \frac{2\pi\sigma}{\rho_g v^2}.$$

При $b < b_{\min}$ возмущения затухают, при $b > b_{\min}$ развиваются с характерным временем τ . Для тэна за ДВ при $\sigma = 0,1$ Н/м, $b_{\min} \approx 0,5$ мкм имеем $\tau_0 = 3 \cdot 10^{-9}$ с. Логично предположить, что разрушение будет происходить только при $\delta > b_{\min}$.

Таким образом, на частицах за фронтом ДВ образуется расплавленный слой достаточной для разрушения толщины ($\delta \approx 2b_{\min}$). Следует ожидать, что характерный размер образующихся капель d_f будет примерно равен критической длине волны возмущения: $d_f = b_{\min}$. Исходя из этого, оценим увеличение площади поверхности тэна, считая, что разрушится весь расплавленный слой, образованный за характерное время задержки реакции. Масса жидкой оболочки $m = (\rho\pi/6)(d_0^3 - d^3)$, где d — конечный размер частицы. Число капель $n = (d_0^3 - d^3)/d_f^3$, и, если не учитывать уменьшение площади поверхности частицы, увеличение площади поверхности ВВ составит $\eta = (d_0^3 - d^3)/d_0^2 d_f + 1$. Для полученного значения $\delta = 1$ мкм имеем $\eta = 12$, т. е. поверхность ВВ увеличивается более чем на порядок.

При наличии разрушения частиц предложенный в [4] механизм абляционного горения можно рассматривать только применительно к образовавшимся каплям.

Итак, в результате разрушения расплавленного слоя на частицах происходит резкий рост поверхности ВВ, что ведет к увеличению интегральной скорости реакции, достаточной для развития переходного режима разложения порошкового ВВ. Процесс носит пороговый характер: разрушение будет происходить только при толщине расплавленного слоя больше некоторой критической величины.

Работа выполнена при поддержке Российского фонда фундаментальных исследований (код проекта 96-01-01497).

ЛИТЕРАТУРА

1. Андреев В. В., Лукьянчиков Л. А. К механизму распространения детонации с малой скоростью при искровом инициировании // Физика горения и взрыва. 1974. Т. 20, № 6. С. 912–919.
2. Мельников М. А., Никитин В. В. Определение кинетических параметров гексогена, инициируемого электрической искрой // Физика горения и взрыва. 1972. Т. 8, № 4. С. 485–489.
3. Андреев В. В., Лукьянчиков Л. А., Митрофанов В. В., Тесленко В. С. Возбуждение детонации порошковых ВВ взрывом газовой смеси // Физика горения и взрыва. 1980. Т. 16, № 5. С. 153–155.
4. Андреев В. В., Ершов А. П., Лукьянчиков Л. А. Двухфазная низкоскоростная детонация пористого ВВ // Физика горения и взрыва. 1984. Т. 20, № 3. С. 89–93.
5. Беляев А. Ф., Боболов В. К., Коротков А. И. и др. Переход горения конденсированных систем во взрыв. М.: Наука, 1973.

6. Ershov A. P. Convective burning of porous explosive after sharp initiation — fragmentation effect // Proc. 2nd Int. Conf. on Multiphase Flows. Kyoto, Japan, 1995. P. CO-27-CO-31.
7. Григорьев В. В. Одновременное измерение температуры поверхности и скорости одиночных частиц, метаемых газовой детонацией // Физика горения и взрыва. 1990. Т. 26, № 1. С. 129–135.
8. Ивандаев А. И., Кутушев А. Г., Нигматулин Р. И. Газовая динамика многофазных сред // Итоги науки и техники. МЖГ. М.: ВИНИТИ, 1981. Т. 16. С. 225–242.
9. Ландау Л. Д., Лифшиц Е. М. Теоретическая физика. Т. VI: Гидродинамика. М.: Наука, 1988. С. 345.

Поступила в редакцию 20/XI 1996 г.
